

ЛЕКЦИЯ 3

14.1. Автономные резонансные инверторы без обратных диодов

Автономные резонансные инверторы используются для получения на нагрузке переменного напряжения повышенной частоты (400 Гц — 10 кГц и выше). Такие инверторы широко применяются в электротермии, в системах индукционного нагрева, закалки, плавки металлов и др. Процессы, протекающие в АРИ, характеризуются колебательным перезарядом в цепи с индуктивностью нагрузки или дополнительно включенной катушкой индуктивности и специально включенным конденсатором, которые образуют колебательный контур.

Различают два типа АРИ:

- 1) резонансные инверторы без обратных диодов;
- 2) резонансные инверторы с обратными диодами.

Однофазная схема такого автономного инвертора без обратных диодов показана на рис. 14.1. В приведенной схеме в качестве ключевых элементов используются однооперационные тиристоры.

Кривая тока нагрузки $i_h(t)$ формируется путем попарного открывания диагонально включенных тиристоров. Изменение тока во времени $i_h(t)$ в последовательно с колебательным контуром включенной нагрузке обусловливается колебательным процессом перезаряда конденсатора C_k .

Временные диаграммы изменения токов и напряжений на различных участках схемы в установившемся режиме показаны

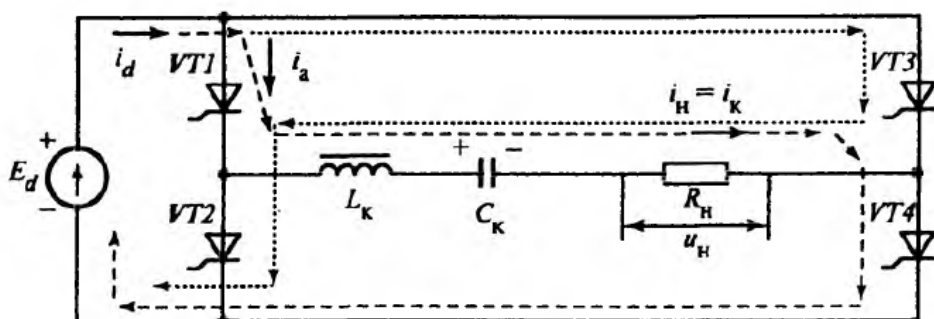


Рис. 14.1

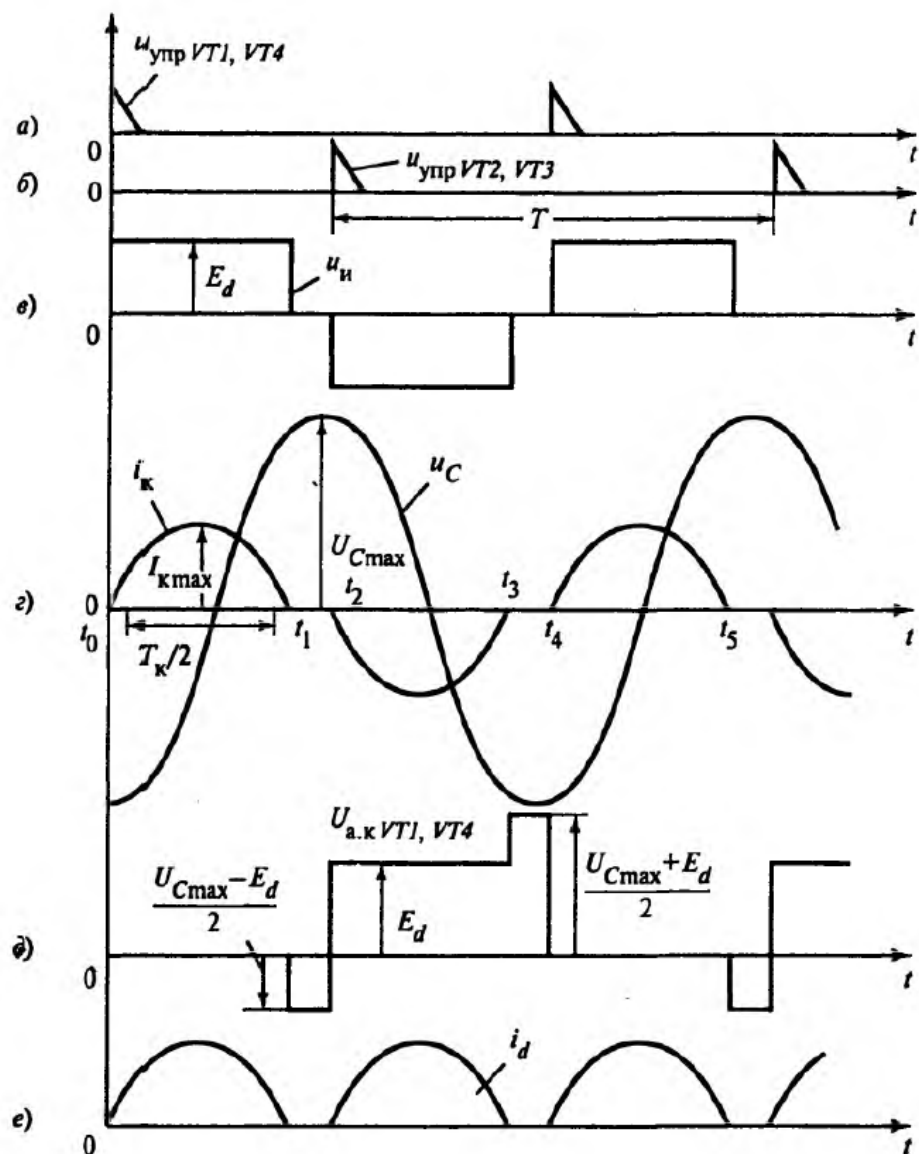


Рис. 14.2

на рис. 14.2. При подаче импульсов управления на управляющие электроды силовых ключей (рис. 14.2, а, б) (например, на тиристоры $VT1$ и $VT4$ в момент времени t_0 , рис. 14.2, а) напряжение источника питания E_d прикладывается к колебательному контуру (рис. 14.2, в). Ток $i_h = i_k$ (рис. 14.2, г) и имеющий колебательный характер, течет по цепи $(+E_d) - L_k - C_k - R_h - (-E_d)$.

Эквивалентная схема замещения электрической цепи на интервале открытого состояния ключей $VT1$, $VT4$ показана на рис. 14.3.

Знаки напряжения на конденсаторе в начале каждого цикла заряда конденсатора $U_C(0)$ соответствуют полярности, которую приобрел конденсатор от предыдущего цикла, когда ток проводили тиристоры $VT2$ и $VT3$. На начальном этапе цикла конденсатор начнет разряжаться, а затем заряжаться до некоторого значения емкости с противоположной полярностью.

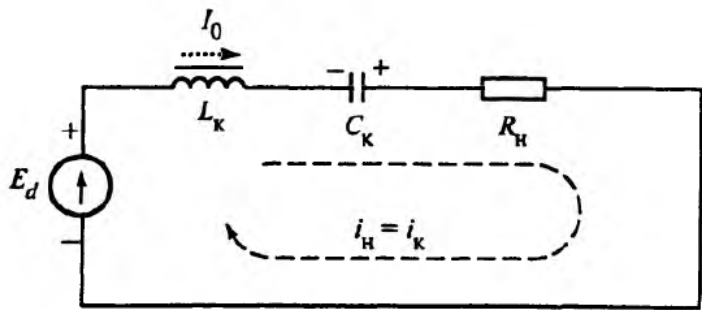


Рис. 14.3

Дифференциальное уравнение цепи при подключении контура к источнику питания E_d при условии, что ток в контуре $I_0 = 0$ в момент подключения контура к E_d , имеет вид:

$$E_d = L_k \frac{di_k}{dt} + \frac{1}{C_k} \int_{t_0}^{t_1} i_k dt - U_C(0) + R_h i_k. \quad (14.1)$$

Изображение по Лапласу этого уравнения записывается в виде

$$\frac{E_d + U_C(0)}{p} = L_k p I_k(p) + \frac{1}{p C_k} I_k(p) + R_h I_k(p). \quad (14.2)$$

Решаем уравнение относительно $I_k(p)$:

$$I_k(p) = \frac{\frac{E_d + U_C(0)}{L_k}}{p^2 + \frac{R_h}{L_k} p + \frac{1}{L_k C_k}}. \quad (14.3)$$

Для колебательного процесса [при $R_h < 2X$ (где $X = \sqrt{L_k/C_k}$ — характеристическое сопротивление контура и $\omega = \omega_0 = 1/\sqrt{L_k C_k}$ — собственная частота колебательного контура)] изображение по Лапласу имеет вид:

$$i_k = \frac{E_d + U_C(0)}{X} e^{-\frac{R_h}{2L_k} t} \sin(\omega_0 t) = I_{k \max} e^{-\frac{R_h}{2L_k} t} \sin(\omega_0 t), \quad (14.4)$$

где $I_{k \max} = \frac{E_d + U_C(0)}{X}$.

Зависимость изменения напряжения на конденсаторе C_k получается подобным образом. Интегральное уравнение

$$u_C = U_C(0) + \frac{1}{C_k} \int_{t_0}^{t_1} i_k dt$$

имеет изображение по Лапласу

$$U_C(p) = \frac{U_C(0)}{p} + \frac{1}{pC_k} I_k(p),$$

откуда

$$U_C(p) = \frac{U_C(0)}{p} + \frac{\frac{E_d + U_C(0)}{L_k C_k p}}{p^2 + \frac{R}{L_k} p + \frac{1}{L_k C_k}}. \quad (14.5)$$

Обратное преобразование с учетом приведенных выше обозначений и допущений приводит к выражению

$$u_C \approx E_d - [E_d + U_C(0)] \cos(\omega_0 t) e^{-\frac{R_h}{2L_k} t}. \quad (14.6)$$

Полученное соотношение справедливо для полупериода любого этапа работы схем, но в этом случае в уравнение необходимо подставлять соответствующий временной интервал от нуля до π , а значение $U_C(0)$ соответствует значению напряжения на конденсаторе в конце предыдущего этапа. Кривая изменения напряжения на конденсаторе показана на рис. 14.2, г. Из анализа полученного выражения следует: если $R = 0$ и в момент включения схемы $U_C(0) = 0$, то к концу первого этапа $U_C(\omega t_1) = U_C(\pi) = 2E_d$. И так от этапа к этапу напряжение на конденсаторе будет возрастать, что в конце концов приведет к пробою вентилей. Такое явление называется процессом накопления энергии. В реальном случае при $R \neq 0$ процесс накопления энергии в конденсаторе остановится на некотором уровне и $U_C(0)$ станет больше E_d . При расчете параметров элементов схемы (R , C_k и L_k) их номиналы выбираются таким образом, чтобы напряжение на конденсаторе было в пределах (2—3) E_d .

На рис. 14.2, д построена кривая изменения напряжения на вентилях с учетом того, что напряжение на проводящем вентиле близко к нулю, а к закрытому вентилю того же плеча прикладывается напряжение E_d . На этапе закрытого состояния всех вентилей к ним прикладывается полусумма или полуразность напряжений источника питания и на конденсаторе. Накопление энергии на конденсаторе, а

значит, и напряжения на нем приводят к перенапряжению на ключевых приборах, что может привести к их выходу из строя.

Очевидно, что от источника питания потребляется ток на этапе перезаряда конденсатора (см. рис. 14.2, e).

14.2. Автономные резонансные инверторы с обратными диодами

С целью улучшить энергетические показатели резонансного инвертора в схему силового блока добавляют обратные диоды (рис. 14.4).

Различают два режима работы таких инверторов:

- 1) режим прерывистого тока нагрузки;
- 2) режим непрерывного тока.

На рис. 14.5, а, б показаны кривые импульсов управления силовых ключей инвертора. Особенность процессов, протекающих в схеме, заключается в том, что каждый такт отпирания находит лежащих управляемых ключей сопровождается формированием двух полуволн кривой тока нагрузки (рис. 14.5, в). Одна полуволна обусловливается колебательным перезарядом конденсатора под действием напряжения источника питания через открытые тиристоры $VT1$, $VT4$ на интервале от нуля до t_1 .

В результате того, что на первом этапе конденсатор заряжается до напряжения

$$U_C(t_1) = E_d - [E_d + U_C(0)] \cos(\omega_0 t) e^{-\frac{R_H}{2L_K} t_1} > E_d, \quad (14.7)$$

при спаде прямого тока до нуля открываются обратные диоды, включенные параллельно ранее проводившим тиристорам. Ток в нагрузке и в источнике, определяемый соотношением

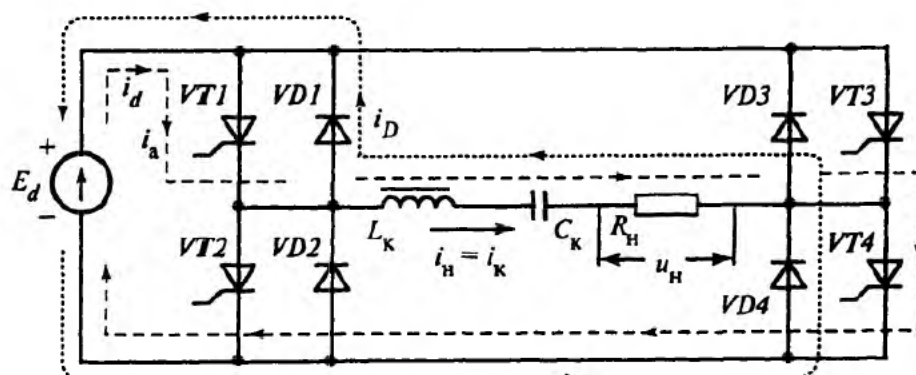


Рис. 14.4

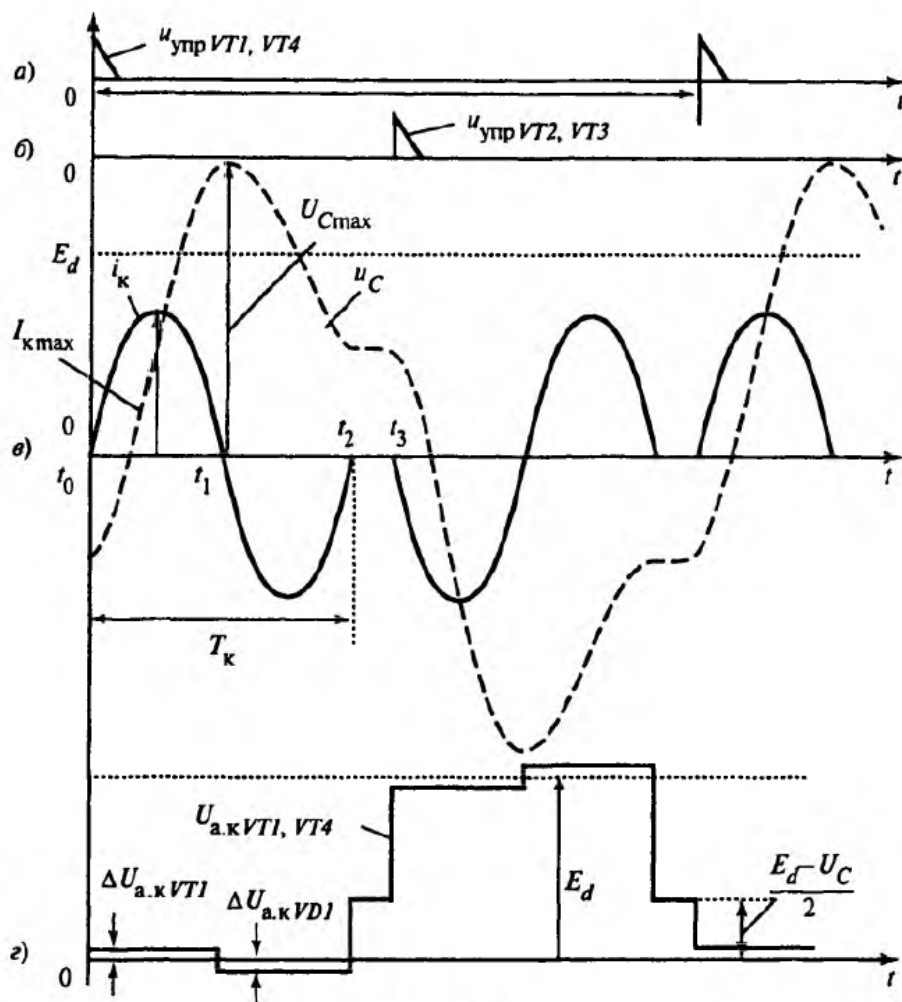


Рис. 14.5

$$i_k(t_1 - t_2) = -\frac{E_d - U_C(t_1)}{X} e^{-\frac{R_H}{2L_K} t} \sin(\omega_0 t), \quad (14.8)$$

изменяет направление, и конденсатор разряжается по закону

$$U_C(t_1 - t_2) = E_d + [-E_d + U_C(0)] \cos(\omega_0 t) e^{-\frac{R_H}{2L_K} t}; \quad (14.9)$$

$$U_C(t_2) = U_C(0) = -E_d + [E_d + U_C(t_1)] e^{-\frac{R_H}{2L_K} t_2}. \quad (14.10)$$

В момент времени t_2 конденсатор разрядится до напряжения $U_C(t_2)$ и на интервале $t_2 - t_3$ напряжение останется постоянным. Далее включатся накрест лежащие управляемые ключи и процесс повторится.

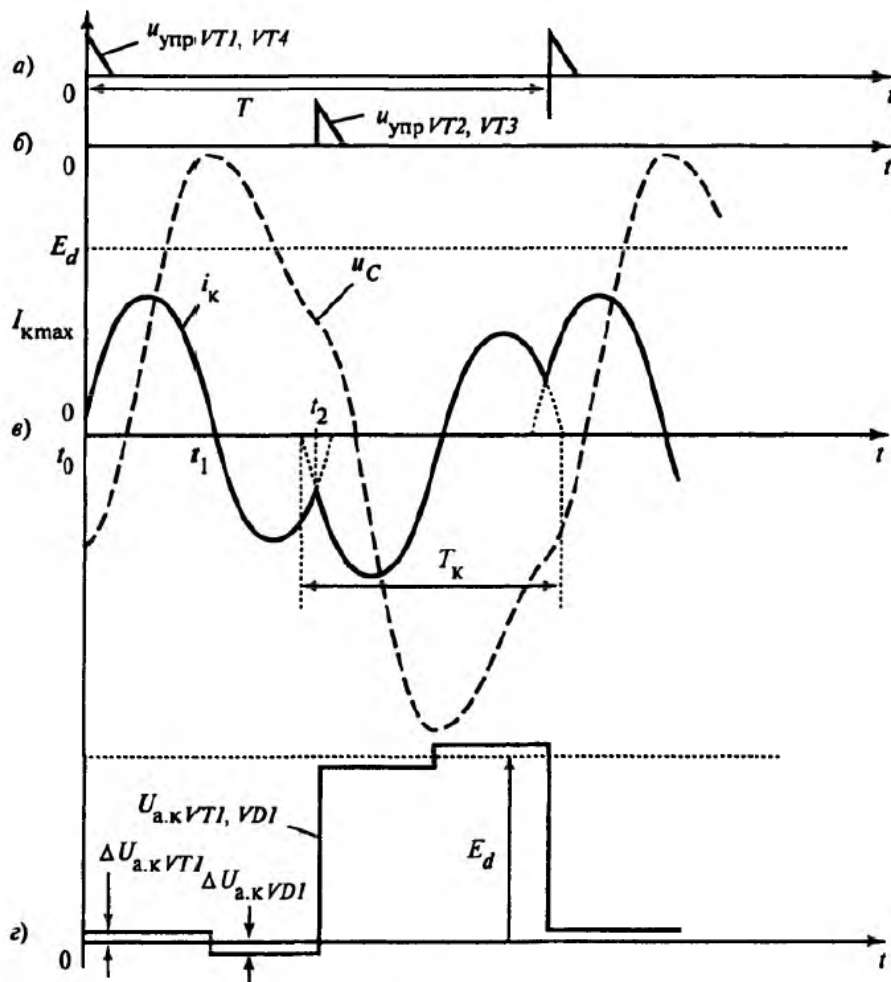


Рис. 14.6

Напряжение на открытых диодах $\Delta U_{a.k VDI}$ с отрицательной полярностью прикладывается к ранее проводившим тиристорам на этапе формирования второй полуволны тока, что создает условия к восстановлению их управляемых свойств (рис. 14.5, г). На интервале токовой паузы к ключевым элементам прикладывается напряжение $(E_d - U_C)/2$, как проиллюстрировано на рис. 14.5, г.

В режиме непрерывного тока нагрузки управляющие импульсы на очередную пару управляемых ключей подаются раньше чем закончится колебательный процесс перезаряда конденсатора через обратные диоды (рис. 14.6). При этом $T_k > T/2$. Очередное отпирание тиристоров происходит до завершения перезаряда конденсатора по цепи с обратными диодами.

В этом случае ток нагрузки и напряжение на конденсаторе приближаются к синусоидальной форме (рис. 14.6, в). Необходимые условия для запирания тиристоров по окончании их интервала про-

водимости создаются в процессе формирования кривой тока нагрузки на интервале проводимости обратных диодов (рис. 14.6, г).

Как в режиме непрерывного тока нагрузки, так и в режиме прерывистого тока на интервале проводящего состояния обратных диодов ток через источник питания протекает в обратную сторону. Источник принимает энергию от накопителей энергии (реактивных элементов в цепи нагрузки). При этом происходит рекуперация энергии, накопленной в реактивных элементах колебательного контура и нагрузки, в конденсаторе не происходит накопления энергии, и такая схема работоспособна в режимах короткого замыкания нагрузки.

Контрольные вопросы и задачи

14.1. Чем определяются частота и значение напряжения на нагрузке при использовании схем резонансных инверторов?

14.2. Что такое эффект накопления энергии?

14.3. Задача: в схеме АРИ без обратных диодов (рис. 14.1) $E_d = 100$ В, $C_k = 16$ мкФ, $L_k = 0,76$ мГн, $R_h = 0$ (режим короткого замыкания нагрузки). Определить:

1) собственную частоту резонансного контура f_0 ;

2) значение напряжения на конденсаторе:

2') после первого полупериода формирования кривой выходного тока (U'_C);

2'') после второго полупериода формирования кривой выходного тока (U''_C);

2''') после третьего полупериода формирования кривой выходного тока (U'''_C);

3) амплитуду тока нагрузки на интервале третьего полупериода формирования кривой выходного тока $I_{k \max}$.

14.4. Задача: для условий предыдущей задачи, но при $R_h = 5$ Ом найти:

1) значение напряжения на конденсаторе:

1') после первого полупериода формирования кривой выходного тока (U'_C);

1'') после второго полупериода формирования кривой выходного тока (U''_C);

1''') после третьего полупериода формирования кривой выходного тока (U'''_C);

2) амплитуду тока нагрузки на интервале третьего полупериода формирования кривой выходного тока $I_{k \ max}$.

14.5. Для чего служат обратные диоды в схемах резонансных инверторов?

14.6. Чем определяется количество времени, предоставляемого на восстановление управляющих свойств тиристоров при работе АРИ в режиме непрерывного тока?